

平顶光束 K 参数的解析传输方程*

康小平^{1,2}, 吕百达¹

(1. 四川大学 激光物理与化学研究所, 四川 成都 610064; 2. 琼州大学 物理系, 海南 五指山 572200)

摘 要: 从 Li 提出的平顶光束模型和 Collins 公式出发, 推导出平顶光束通过近轴 ABCD 光学系统 K 参数的解析传输公式。平顶光束的 K 参数与光束阶数 M、瑞利长度 z_R 和传输矩阵元 A/B 有关。另一方面, 基于强度矩的传输方程, 通过繁冗的积分, 也推导出 K 参数的解析传输方程。大量数值计算结果证明二者所得结果相同。对平顶光束 K 参数的传输特性用数值计算例作了说明。

关键词: 激光光学; 平顶光束; K 参数; 传输方程; 强度矩; Collins 公式

中图分类号: O435 **文献标识码:** A

在高功率激光的实际应用中, 常需要光强分布均匀平顶的光束, 对这类平顶光束的特性已进行了许多研究^[1]。文献中常采用超高斯光束^[2]和平顶高斯光束^[3]等多种数学-物理模型来描述平顶光束。最近, Li 提出了一种新的平顶光束模型^[4], 即将平顶光束视为具有不同束宽的基模高斯光束的相干叠加, 因此, 其行为可利用熟知的基模高斯光束的传输规律进行研究。另一方面, 除光束传输因子(M² 因子)外, K 参数是描述光束的平整度或陡峭度的重要物理量, 用光强的四阶矩和二阶矩定义^[5,6]。文献[7~9]中对高斯光束、平顶高斯光束和复宗量厄米-高斯光束的 K 参数作了研究。文献[10]将 K 参数推广用于描述有硬边光阑限制光束光强分布的陡峭度。但是, 对 Li 提出的平顶光束的 K 参数尚未见有关文献报道。本文基于 Collins 公式和强度矩定义, 利用平顶光束通过 ABCD 光学系统的传输方程, 得到平顶光束 K 参数的解析传输公式, 并且给出了详细的数值计算例。而高斯光束的 K 参数可作为特例给出。

1 平顶光束通过 ABCD 光学系统 K 参数的解析传输公式

按 Li 提出的模型^[4], 在直角坐标系中, 2 维平顶光束在入射参考面 z = 0 处沿 x 方向的场分布为

$$E(x, 0) = \sum_{m=1}^M m \exp(-m \frac{x^2}{w_0^2}) \quad (1)$$

式中: M 为平顶光束的阶数; w₀ 对应 M = 1 时的高斯光束束腰宽度; m 和 分别为

$$m = (-1)^{m+1} \frac{M(M-1)\dots(M-m+1)}{m!} \quad (2)$$

$$= \sum_{m=1}^M \frac{-m}{m} \quad (3)$$

将(1)式代入 Collins 公式^[11], 经积分计算, 得到平顶光束通过近轴 ABCD 光学系统的传输公式为

$$E(x, z) = \sqrt{\frac{i}{B}} \exp\left[-\frac{ikD}{2B}x^2\right] \sum_{m=1}^M \left[\frac{m}{\sqrt{\frac{m^2}{w_0^2} + \frac{ikA}{2B}}} \exp\left\{ (kx/B)^2 / \left[4 \left(\frac{m^2}{w_0^2} + \frac{ikA}{2B} \right) \right] \right\} \right] \quad (4)$$

式中: k 为波数, 与波长 的关系为 k = 2π / λ; A, B, C, D 表示 ABCD 光学系统的变换矩阵元素。

光束的 K 参数定义为^[6]

$$K = x^4 / x^2{}^2 \quad (5)$$

式中: x⁴ 和 x² 分别是光强的二阶矩和四阶矩, 即

$$x^n = \frac{1}{P} \int x^n |E(x, z)|^2 dx, \quad n = 2, 4 \quad (6)$$

其中

* 收稿日期: 2004-07-14; 修订日期: 2005-03-08

基金项目: 国家 863 计划项目资助课题

作者简介: 康小平(1964—), 女, 博士, 副教授, 主要从事激光传输与变换的研究; E-mail: xpk710@126.com.

$$P = \int |E(x, z)|^2 dx \quad (7)$$

为总功率。

把(4)式代入(6)式,经积分计算,得到光强的二阶矩和四阶矩分别为

$$x^2 = \left\{ \frac{B}{A} \right\}_{m=1, n=1}^{M, M} H_{mn} [(m+n) J^{-3/2}] \left\{ 2w_0^2 \right\}_{m=1, n=1}^{M, M} [(m+n) J^{-1/2}] \quad (8)$$

$$x^4 = 3 \left\{ \frac{B}{A} \right\}_{m=1, n=1}^{M, M} H_{mn}^2 [(m+n) J^{-5/2}] \left\{ 4w_0^2 \right\}_{m=1, n=1}^{M, M} [(m+n) J^{-1/2}] \quad (9)$$

式中:

$$H_{mn} = mn^2 + (z_R A/B)^2 + i(n-m)z_R A/B \quad (10)$$

其中 $z_R = kw_0^2/2$ 为瑞利长度。

把光强的二阶矩和四阶矩代入(5)式,得到平顶光束 K 参数的传输公式为

$$K = 3 \left[\left\{ \frac{B}{A} \right\}_{m=1, n=1}^{M, M} (m+n)^{-1/2} \right] \left[\left\{ H_{mn}^2 (m+n)^{-5/2} \right\}_{m=1, n=1}^{M, M} \right] / \left[\left\{ H_{mn} (m+n)^{-3/2} \right\}_{m=1, n=1}^{M, M} \right]^2 \quad (11)$$

(11)式表明,平顶光束的 K 参数与光束阶数 M 、瑞利长度 z_R 和 A/B 有关。由(11)式可推知,当同一平顶光束通过两个 $A_i B_i C_i D_i (i=1, 2)$ 光学系统传输时,如果在两个面上有 $A_1/B_1 = A_2/B_2$, 即菲涅尔数 $F_1 = F_2 (F_i = A_i w_0^2/B_i)$, 则具有相同的 K 参数。(11)式的特例为:

(1) 当 $B=0$ (即在 $z=0$ 的面上或满足像传递条件的面上) 时, (11)式简化为

$$K = 3 \left[\left\{ \frac{B}{A} \right\}_{m=1, n=1}^{M, M} (m+n)^{-1/2} \right] \left[\left\{ H_{mn}^2 (m+n)^{-5/2} \right\}_{m=1, n=1}^{M, M} \right] / \left[\left\{ H_{mn} (m+n)^{-3/2} \right\}_{m=1, n=1}^{M, M} \right]^2 \quad (12)$$

(2) 当 $A/B \rightarrow 0$ (远场) 时, (11)式简化为

$$K = 3 \left[\left\{ \frac{B}{A} \right\}_{m=1, n=1}^{M, M} (m+n)^{-1/2} \right] \left[\left\{ m^2 n^2 (m+n)^{-5/2} \right\}_{m=1, n=1}^{M, M} \right] / \left[\left\{ mn(m+n)^{-3/2} \right\}_{m=1, n=1}^{M, M} \right]^2 \quad (13)$$

(3) 当 $M=1$ 时, 对应基模高斯光束, (11)式简化为

$$K = 3 \quad (14)$$

(14)式与文献[7]的结果一致。

另一方面, 光束 K 参数的传输方程可用强度矩的传输方程表示为^[5]

$$K = \left[(Ax_0 + Bu_0)^4 + 3A^2 B^2/k^2 \right] / (Ax_0 + Bu_0)^2 \quad (15)$$

式中: x_0, u_0 分别表示在入射面 $z=0$ 处空域和空间频率域中的变量。

$m+n$ 阶强度矩定义为

$$x_0^m u_0^n = \frac{1}{2P(i k)^2} \int x_0^m E(x_0) \frac{\partial^n}{\partial x_0^n} E^*(x_0) dx_0 + c.c \quad (16)$$

由(16)式得

$$x_0 u_0 = 0 \quad (17)$$

$$x_0^3 u_0 = 0 \quad (18)$$

$$x_0 u_0^3 = 0 \quad (19)$$

把(17)~(19)式代入(15)式, 得

$$K = \left[x_0^4 + 3(A/B)^{-2} (2x_0^2 u_0^2 + 1/k^2) + (A/B)^{-4} u_0^4 \right] / \left[x_0^2 + (A/B)^{-2} u_0^2 \right]^2 \quad (20)$$

式中: $x_0^2, u_0^2, x_0^2 u_0^2, x_0^4$ 和 u_0^4 分别由(1)式、(16)式经繁冗的积分得到, 表示为

$$x_0^2 = (w_0^2/2) \left\{ \frac{m-n}{m+n} \right\}_{m=1, n=1}^{M, M} (m+n)^{-3/2} \left[\left\{ \frac{B}{A} \right\}_{m=1, n=1}^{M, M} (m+n)^{-1/2} \right] \quad (21)$$

$$u_0^2 = [2/(k^2 w_0^2)] \left\{ \frac{m-n}{m+n} \right\}_{m=1, n=1}^{M, M} mn(m+n)^{-3/2} \left[\left\{ \frac{B}{A} \right\}_{m=1, n=1}^{M, M} (m+n)^{-1/2} \right] \quad (22)$$

$$x_0^2 u_0^2 = (1/k^2) \left\{ \frac{m-n}{m+n} \right\}_{m=1, n=1}^{M, M} mn(m-2n)(m+n)^{-5/2} \left[\left\{ \frac{B}{A} \right\}_{m=1, n=1}^{M, M} (m+n)^{-1/2} \right] \quad (23)$$

$$x_0^4 = (3w_0^4/4) \prod_{m=1}^M \prod_{n=1}^M \frac{m-n}{2} (m+n)^{-5/2} \left/ \left[\prod_{m=1}^M \prod_{n=1}^M m_n (m+n)^{-1/2} \right] \right. \quad (24)$$

$$w_0^4 = [12/(k^4 w_0^4)] \prod_{m=1}^M \prod_{n=1}^M (mn)^2 (m+n)^{-5/2} \left/ \left[\prod_{m=1}^M \prod_{n=1}^M m_n (m+n)^{-1/2} \right] \right. \quad (25)$$

(20) 式与 (11) 式虽然在数学形式上不同,大量数值计算结果证明二者所得结果相同,这与文献中结论一致^[9]。但(11)式表示更简单,计算同一结果用(11)式计算所用的机时要少。此外,在(11)式的推导中避免了多个强度矩的复杂计算,数学推导也较为简单。

2 数值计算和分析

利用(11)式所作的典型数值计算例总结于图 1~3。计算中所用参数为： $\lambda = 1.06 \mu\text{m}$, $w_0 = 1 \text{ mm}$ 。图 1 为平顶光束在自由空间传输时, K 参数随光束阶数 M 的变化。从图 1(a)可以看出,当传输距离较小(例如 $z/z_R = 0.19, 0.21, 0.25$)时,随着阶数 M 的增大, K 值开始减小,达到一个极小值后又逐渐增大;图 1(b)表明,当传输距离较大(例如 $z/z_R = 0.64, 1.06, 2.12$)时, K 参数随着阶数 M 的增大而增大,即高阶平顶光束在传输过程中轮廓会变得更陡峭。

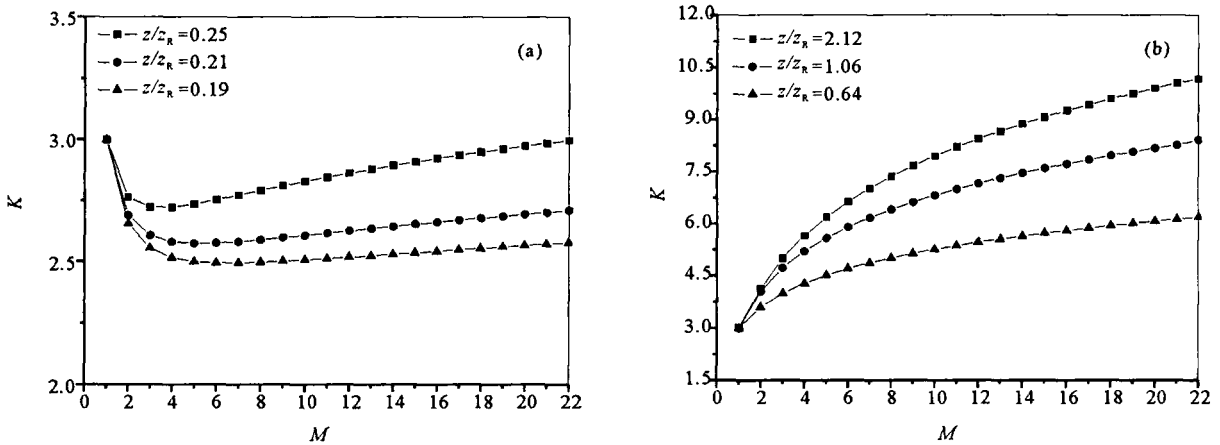


Fig. 1 Propagation of the K parameter of flat-topped beams in free space for different values of the beam order M

图 1 平顶光束的 K 参数在自由空间传输时随光束阶数 M 的变化

图 2 为 $M = 1, 2, 4, 6, 8$ 时,平顶光束的 K 参数随归一化传输距离 z/z_R 的变化。由图 2 可知,当 $M = 2$ 时,有一极小值位于 $z = 0$ 面处,随着传输距离的增大,达到一个极大值后又逐渐减小,最后趋于(14)式得到的渐近值 K 。例如,当 $M = 2$ 时,有极小值 $K_{\min} = 2.49$ 位于 $z = 0$ 面处,极大值 $K_{\max} = 4.15$ 位于 $z/z_R = 1.60$ 处,渐近值 $K = 3.94$ 。当 $M > 2$ 时,只存在一个位于 $z = 0$ 面处的极小值, K 参数随着传输距离的增大而增大,但无极大值,最后趋于渐近值 K 。例如, $M = 6$ 时, $K_{\min} = 2.10$, $K = 6.82$; $M = 8$ 时, $K_{\min} = 2.04$, $K = 7.69$ 。对基模高斯光束 ($M = 1$), $K = 3$ 为传输不变量。以上结论在定性上与文献[8]一致,说明用不同数学-物理模型来描述同一类光束,尽管其特征参数的表示式有所不同,但传输特性应是相同的。

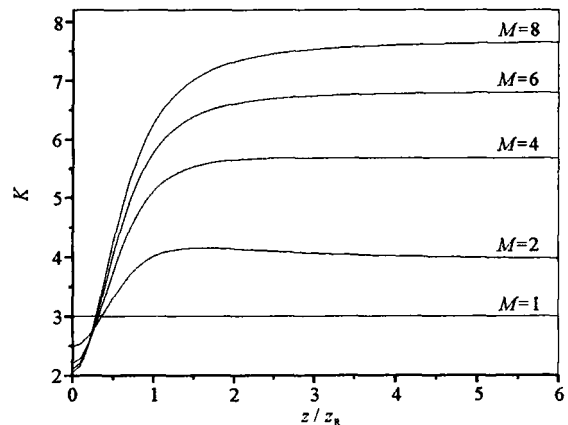


Fig. 2 K parameter of flat-topped beams vs normalized propagation distance z/z_R

图 2 平顶光束的 K 参数随归一化传输距离 z/z_R 的变化

图 3 给出了平顶光束在自由空间传输时,不同 K 值处的相对光强分布。由图 3(a)和(b)可以看出,随着 K 值的增大,光强剖面变陡,即此时 K 参数的大小反映了光强剖面的陡峭程度。

3 结论

本文推导出了 Li 提出的平顶光束的 K 参数的两个等价的解析传输公式。平顶光束的 K 参数与光束阶数

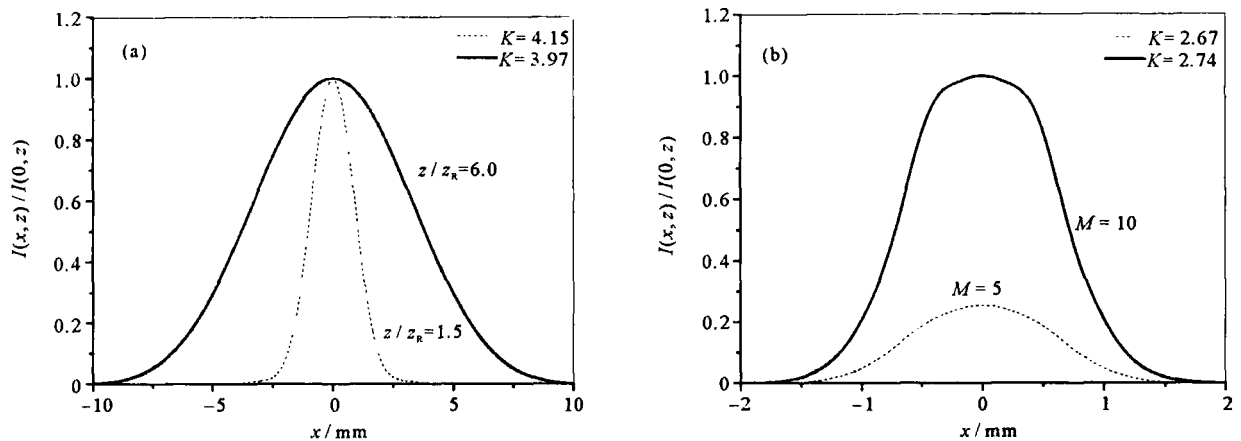


Fig. 3 Relative intensity distributions of flat-topped beams propagating in free space for different values of the K parameter

图3 平顶光束在自由空间传输时对应于不同 K 值处的相对光强分布

M 、瑞利长度 z_R 和 A/B 有关。用典型的数值计算例对解析结果作了说明。

参考文献:

- [1] 卿与三,吕百达. 平顶高斯光束和超高斯光束传输特性的相似性[J]. 强激光与粒子束, 2001, **13** (6): 675—678. (Qing Y S, L üB D. Similar propagation property of flattened Gaussian beams and super-Gaussian beams. *High Power Laser and Particle Beams*, 2001, **13** (6): 675—678)
- [2] Parent A, Marin M, Lavigne P. Propagation of super-Gaussian field distribution[J]. *Opt and Quant Electron*, 1992, **24** (9): 1071—1079.
- [3] Gori F. Flattened Gaussian beams[J]. *Opt Commun*, 1994, **107** (5): 335—341.
- [4] Li Y J. New expressions for flat-topped light beams[J]. *Opt Commun*, 2002, **206** (6): 225—234.
- [5] Weber H. Propagation of high-order intensity moments in quadratic-index media[J]. *Opt and Quant Electron*, 1992, **24** (9): 1027—1048.
- [6] Martinez-Herrero R, Piquero G, Mejias P M. On the propagation of the kurtosis parameter of general beams[J]. *Opt Commun*, 1995, **15** (3): 225—232.
- [7] Amarande S A. Beam propagation factor and the kurtosis parameter of flattened Gaussian beams[J]. *Opt Commun*, 1996, **129** (9): 311—317.
- [8] Saghaei S, Sheppard C J R, Piper J A. Characterizing elegant and standard Hermite-Gaussian beam modes[J]. *Opt Commun*, 2001, **191** (5): 173—179.
- [9] L üB D, Luo S R. Analytical expression for the kurtosis parameter of flattened Gaussian beams propagating through ABCD optical systems [J]. *Journal of Modern Optics*, 2002, **49** (10): 1731—1738.
- [10] Hricha Z, Dalil-Essakali L, Ibnchaikh M, et al. Kurtosis factor of some truncated and non-truncated laser beams[J]. *Phys Chem News*, 2001, **3** (9): 11—16.
- [11] Collins S A. Lens-system diffraction integral written terms of matrix optics[J]. *J Opt Soc Am A*, 1970, **60** (7): 1168—1177.

Analytical propagation expressions for kurtosis parameter of flat-topped beams

KANG Xiao-ping^{1,2}, L ÜBai-da¹

(1. Institute of Laser Physics and Chemistry, Sichuan University, Chengdu 610064, China;

2. Department of Physics, Qiongzhou University, Wuzhishan 572200, China)

Abstract: From the flat-topped beam model proposed recently by Li and the Collins formula, an analytical propagation expression for the kurtosis parameter (K parameter) of flat-topped beams through a paraxial ABCD system is derived. The K parameter depends on the beam order, Rayleigh length and ratio A/B of transfer matrix elements. Based on the propagation equation of intensity moments, a closed-form propagation equation of the K parameter is deduced. The two expressions are shown to be numerically equivalent. The propagation properties of the K parameter of flat-topped beams are illustrated with the calculated results.

Key words: Laser optics; Flat-topped beam; Kurtosis parameter (K parameter); Propagation equation; Intensity moment; Collins formula